

Prirodno-matematički fakultet  
INSTITUT ZA FIZIKU

Природно-математички факултет

Радна заједница заједничких послова

Нови Сад

Дан:	7. XII. 1982		
ОД:	Број	Приказ	Вредност
03	10/63		

PROJEKT LEP (Large Electron Positron Collider)  
-Diplomski rad-

Kamen Svetislav

Novi Sad, 1982.

Zahvaljujem se profesoru Dr Milenu Nikoliću na pomoći i sugestijama koje mi je pružio prilikom izrade diplomskog rada.

## S A D R Ž A J

strane

UVOD .....	1
1.Neša sadašnja znanja o strukturi materije .....	1
2.Interskocije čestice .....	3
3.Izbor jednog elektron-pozitronskog prstena .....	5
4.Luminozitet .....	7
I PRIKAZ OSTALIH PROJEKATA .....	12
1.Protonske mašine .....	13
2.Elektron-protonске mašine .....	18
3.Elektronske mašine .....	19
II FIZIČKA MOTIVACIJA ZA LEP .....	22
1.Napredak ka ujedinjevanju interakcije .....	22
2.Eksperimenti sa LEP-om .....	23
III OPIS LEP-a .....	27
LITERATURA .....	35

## U V O D

### 1. Naša sadašnja znanje o strukturi materije

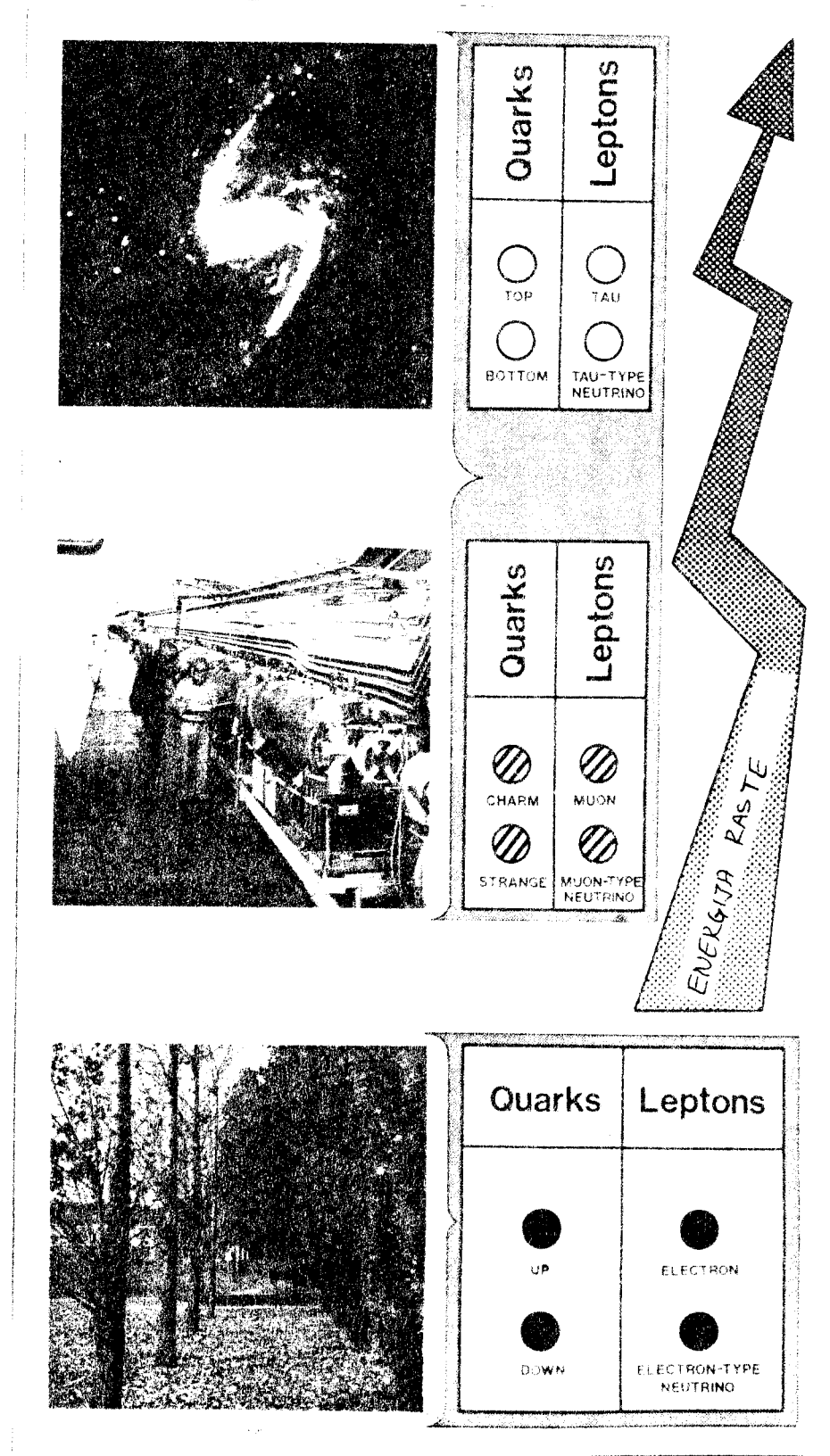
Dok se bar 50 godina odlikuje neprekidnim nizom otkriće novih čestica, kojih za sada ima ne stotine, jedno od najsuštinskih dostignuća je u zadnjih 15 godina, to što je shvaćeno da se one mogu prikazati preko mnogo kraće liste osnovnih sestojaka.

Lista čestica za koje znamo da su fundamentalne komponente materije, svedena je na šesticu leptona i kverkova.

Naš uobičajeni svet je u biti gradijan od samo četiri čestice: dve kverke ( gornji "up" kverk i donji "down" kverk ) i dve leptone ( elektron i elektronski neutrino ) i njihovih antičestica. Dva gornja kverka sa električnim nabojem  $+\frac{2}{3}$  i jedan donji kverk sa nabojem  $-\frac{1}{3}$ , grade proton, koji nosi jedinično neelektrisanje. Dva donja kverka i jedan gornji grade neutron nultog neelektrisanja. Protoni i neutroni zajedno grade ne stotine različitih tipova jezgre. Zajedno sa elektronima, te jezgri grade različite tipove atoma. Elektronski neutrini su dodatno potrebni za objašnjenje slabih interakcija ( beta raspada ). Znači da sa ovim česticama možemo analizirati strukturu našeg sveta.

Da budemo kompletni, trebamo dodati da se kverkovi javljaju u tri varijante, tri boje ( na primer: crveni gornji kverk, plavi gornji kverk i žuti gornji kverk ) iako to nema nikakve veze sa našom uobičajenom koncepcijom boje. Takođe imamo i antičestice kao parove našim česticama ( na primer, pozitron koji je antielektron što ima pozitivno neelektrisanje umesto negativnog ). Ipak sa razlogom možemo govoriti o nešem svakodnevnom svetu da je u suštini gradijan od kvarteta čestica, slike 1.

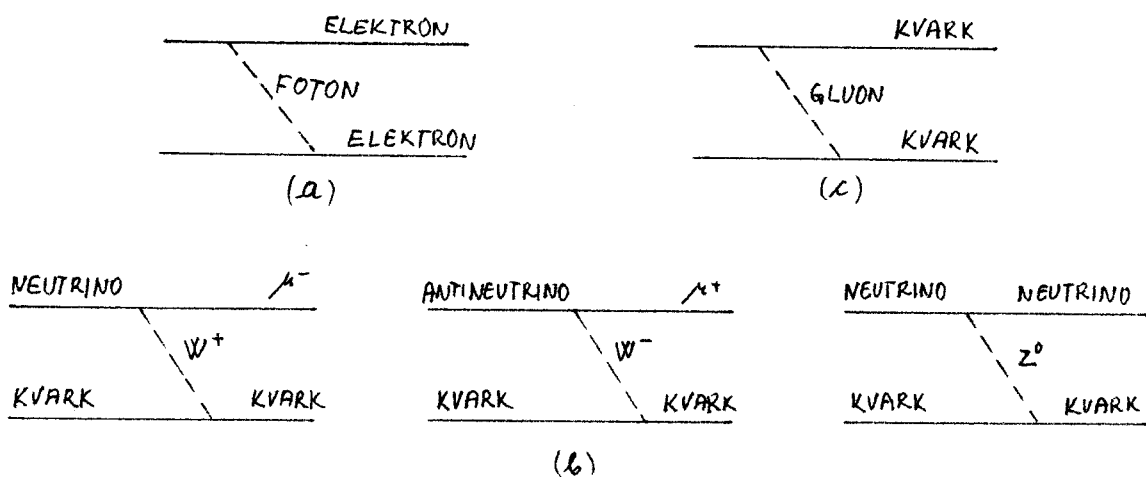
Ali priroda se ne zauzavlja ovde. U kosmičkom zračenju su otkrivene čestice koje pripadaju drugom težem kvartetu: dve kverke ( čudan "strange" kverk i šarm "charm" kverk ) i dve leptone ( mion "muon" i mionski neutrino ) i njihove antičestice.



Nedavno je evidentiran deo trećeg, još težeg kvarteta: jedan kverk ( dno "bottom" kverk ) i jedan lepton ( tau lepton ) i njihove antičestice. Drugi deo kvarteta, kverk vrh "top" i tau neutrino, kao i njihove antičestice, još nisu vidjeni ali se sa sigurnošću predpostavlja njihovo postojanje.

## 2. Interakcije čestice

Interakcije čestice se dele u tri kategorije prema uočljivo različitim relativnim ječinama raznorodnih efekata za koje smo govorili da su kontrolisani od strane elektromagnetne sile, slabe sile i jake sile, slike 2.



SLIKA 2

Shvatanje elektromagnetne sile tj. elektromagnetne interakcije, pre svega u ujedinjenju električnih i magnetnih fenomena a zatim u formulaciji kvantne elektrodinamike ( QED ) je jedan od blistavih uspeha savremene fizike. Ponašanje čestice pod dejstvom ove interakcije moguće je prečunati sa savršenom tačnošću. U kvantnoj elektrodinamici, koja je kompletna fizička teorija ( sleganje teorije i eksperimenta je savršeno ), elektromagnetna interakcija se prenosi posredstvom razmene čestice nulte mase, nazvani fotoni, slike 2 ( a ), izmedju čestice koje su osetljive na ovu interakciju. Fotoni se mogu manifestovati kao radio-telesi, vidljiva svetlost, infracrveni zraci, x - zraci, ...

Pokušajti da se shvate druge dve interakcije idu po istoj analogiji.

Ze slabu interakciju, sadašnja interpretacija je toliko zavisna od elektromagnetne interakcije, da više ne priči govoriti o njima rezdvojeno i sada su one kombinovane u tzv. elektroslabu teoriju ( Salam - Weinberg-ov model ).

Slabe interakcije je razjašnjene razmenom čestica zvanih intermedijski vektorski bozoni, slike 2 ( b ). Ze interakcije neneutralnih struja, gde leptoni i kverkovi razmenjuju električni naboj, posredničke čestice su nazvane  $W^+$  i  $W^-$  bozoni i za interakcije neutralnih struja, koje su otkrivene u CERN-u ( Evropske organizacije za nuklearne istraživanje ) 1973. godine, posrednička čestica nosi ime  $Z^0$  bozon. Njihove mase se predviđaju da budu oko 75 GeV-e ( za  $W^+$ ,  $W^-$  bozone ) i 85 GeV-e ( za  $Z^0$  bozon ). Pri tim energijama postaje bezrazložno da se prvi razlike između slsbih i elektromagnetnih interakcija, maked se i dalje tako lako rezdvojiti pri mnogo nižim energijama današnjih eksperimenta. Sadašnja formulacija slabe interakcije vodi osobini da njen intenzitet raste sa poreptom energije ( tj. povećanje efikasnog preseka sa energijom ), sve do tačke kada bi se eventualno javio konflikt sa unitarnošću. Ekstrapolišući primećen porest iz energije postojećih skceleratora, naiši se da bi slabe i elektromagnetne interakcije trebale da imaju uporedive intenzitete na energiji reda 100 GeV-e u centru mase. Ovo se odnosi kako na neutralne, tako i na nenelektrisane struje. Što se tiče slabe interakcije neutralnih struja, ona ima dodatnu osobinu da može da interferiše sa elektromagnetnom interakcijom, pa se očekuje njihovo stepenje na način koji zahteva ujedinjen opis, kao što je to predloženo elektroslabom teorijom.

Sadašnje teorije pokušavaju da opišu dejstvo jače interakcije postulišući druge čestice razmene, kojima je dato ime gluoni, slike 2 ( c ). Ove čestice ( gluoni ), prenose boju među kverkovima koja je osnovna osobina jače interakcije. Na teorijskom planu, kvantna hromodinamika ( QCD ) je postala veoma jek i jedini kandidat za teoriju jače interakcije. Deleko je od toga da bude potpuna ali ima brojnih uspeha i protekle godine je dobile eksperimentalnu potvrdu iz rezultata merenja skledišnog prstena PETRA u

DESY laboratoriji gde je vidjena indirektna potvrda gluona.

### 3. Izbor jednog elektron-pozitronskog prstena

U odnosu na čestice koje ubrzavaju, postoje četiri tipa mašina i svakom od njih je moguće istraživati određene fenomene u fizici, što šematski i tabelarno ( I ) možemo prikazati na sledeći način:

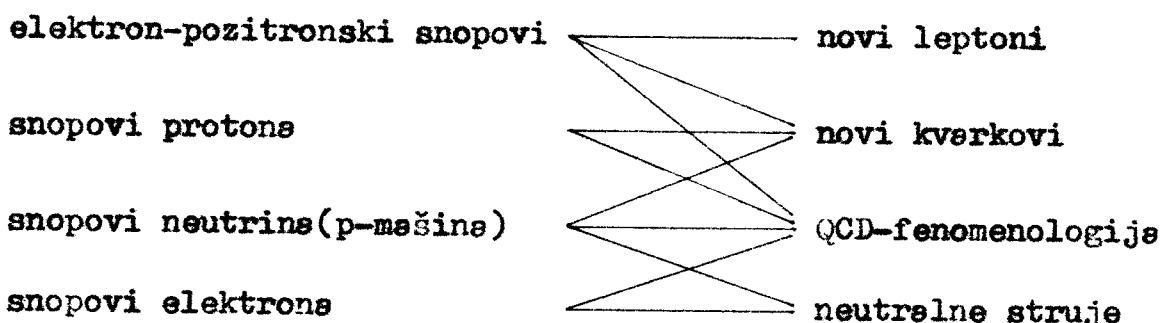


TABELA I

fizike	tip mašine			
	e <sup>+</sup> e <sup>-</sup>	e <sup>-</sup> p	pp ili p <sup>−</sup>	
provera testovima QED	L	N	N	
broj aromata	L	N	N	
identifikacija novih kverkova	L	T	T	
identifikacija novih leptona	L	T	T	
pronašenje Higgs-ovih čestica	L	T	T	
merenje sin <sup>2</sup> θ, itd.	L	T	T	
broj neutrins	L	N	L	
provera testovima QCD	L	L	L	
otkriće Z <sup>0</sup>	L	T	L	
otkriće W <sup>+</sup> , W <sup>−</sup>	T	T	L	
ukupni hadronski efikasnii presek	N	N	L	

L - lako ( često mislimo teško )

T - teško ( često mislimo nemoguće )

N - nemoguće

U razmišljenju o novoj mašini, trebalo je voditi računa da se svi tipovi kverkova i leptona mogu izučavati.

Protonski kolojder ( dve snopu se ubrzavaju u jednom prstenu ) može lako da dostigne željenu energiju. Ipak, iako se protoni relativno lako ubrzavaju, za njih se zna da su složeni objekti. Kada se dve protone ( ili proton i antiproton ) sudaraju, veliko pozadinsko zračenje uzrokovano mnogim sekundarnim efektima, bi detaljnoj studiji slobnih i elektromagnetičnih efekata pričinjalo nesavladive probleme.

Elektroni imaju samo slobu i elektromagnetičnu interakciju i zbog toga su vrlo pogodni za sondiranje nukleona u izučavanju elektromagnetične i slobobe interakcije kverkova. Ipak, elektroni jako zrače pri ubrzavanju i velike elektronske mašine su već odavno poznate kao tehnički vrlo teške za izgradnju. Sinhrotronska radijacija raste sa  $E^4/R$ , gde su E i R energija snopa i radijus krivine. Optimizacija između izdakaka izgradnje i izdakaka korišćenja, vode izboru R koji raste sa kvadratom energije (  $E^2$  ).

To je slučaj visokoenergetskog elektron-pozitronskog skladišnog prstena ( LEP ), koji je CERN odradio kao svoj budući akcelerator. Anihilacija elektrona i pozitrona preko virtuelnog fotona ili  $Z^0$  rezultuje skoro jednaku produkциju svih različitih tipova kverkova i leptona. Na taj način, bilo da hoćemo dokazivanjem postojanja nosioce slobobe interakcije (  $W^+, W^-$  i  $Z^0$  bozone ), sintezu slobobe i elektromagnetične interakcije ili studiju novih kvantnih brojeva, LEP se čini idealnom mašinom.

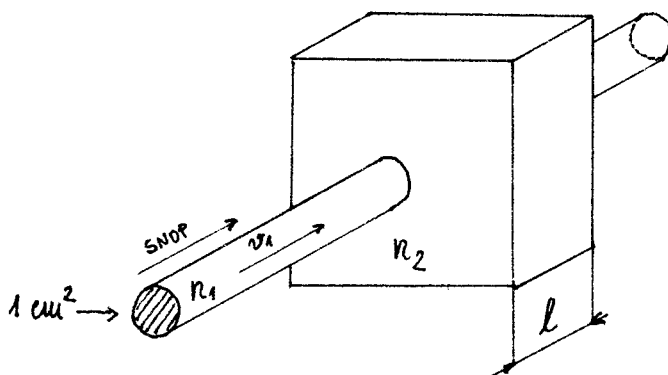
Dodatno na ove fizičke rezloge za izbor LEP-a kao Evropske mašine budućnosti tu je i plan međunarodne saradnje u razvoju drugih postrojenja za istraživanje fizike čestica širom sveta. U SAD, Brookhaven gradi proton-proton-ske skladišne prstenove od 400 GeV-a ( ISABELLE ) a Fermilab gradi proton sinhrotron ( energetski dvojnik ) od 1 TeV-a koji će se transformisati u proton-antiproton kolojder energije 2 TeV-a u centru mase. U SSSR, Serpukhov planira klasičan proton sinhrotron od oko 3 TeV-a. Deljnje dopunske postrojenja mogu nestati u Evropskom DESY ( HERA ), Američkom Stanfordu u Japetu u Tokiju ( TRISTAN ) i u Kini u Pekingu.

Neke od ovih mašina su klasične, sa nepomičnom metom, gde je glavni parameter intenzitet snopa ( tj. broj čestice u snopu ) a neke su na principu skledišnih prstenova i kolajdere. Kod ovih drugih glavni parameter je luminozitet.

#### 4. Luminozitet

Luminozitet ili "respoloživi broj interakcija" može biti definisana kao broj interakcija po jedinici vremena koje proizvodi odredjene reakcije krajnje ( finalne ) stanje. U slučaju sudsrećujućih snopova, ta veličina može biti izračunata iz geometrije snopova, njihove gustine, energije i njihovog ugla ukrštenja.

Posmatrajmo prvo snop poprečnog preseka  $1 \text{ cm}^2$  koji se sudsreće sa nepokretnom metom, slike 3.



SLIKA 3

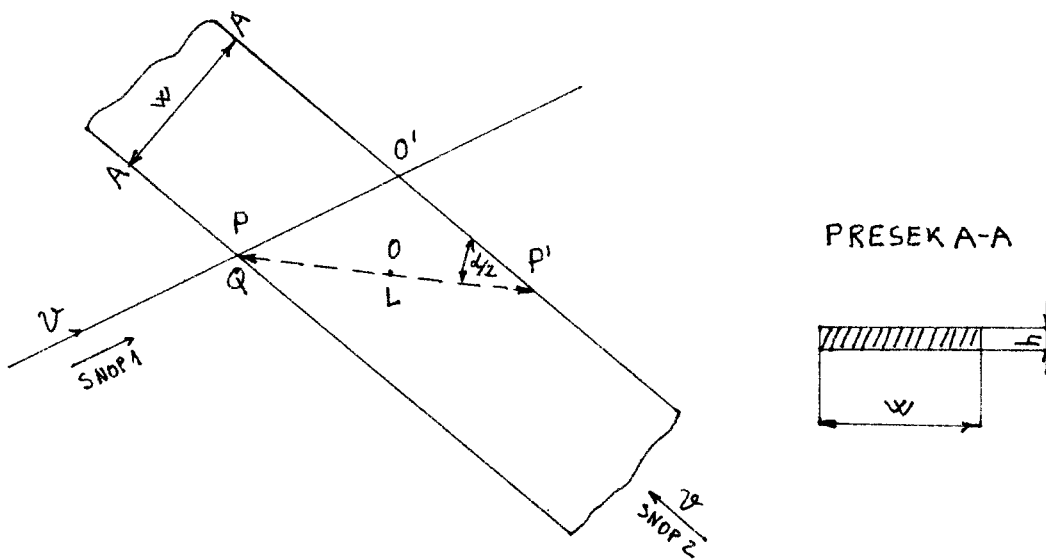
Gustine snope i mete neke budu  $n_1$  i  $n_2$ . Čestice snope imaju brzinu  $v_1$ . Broj reakcija biće proporcionalan broju čestica koje pristižu u jedinici vremena ( $n_1 v_1$ ) i broju čestica ( $n_2 l$ ) koje snop može pogoditi za vreme proleske kroz metu debljine l. Znači

$$\frac{dN}{dt} = \mathcal{C} (n_1 v_1) n_2 l \quad \dots \dots \quad 1$$

Konstanta proporcionalnosti  $\mathcal{C}$  se naziva efikasni presek interakcije i ima dimenziju površine ( $\text{cm}^2$ ). Broj interakcija po prolesku jedne čestice je

$$= \mathcal{C} n_2 l \quad \dots \dots \quad 2$$

Posmatrajmo sada geometriju domene gde se dve snope sudsreju pod uglom  $\alpha$ , kao kod ISR ( ukršteni skledišni prstenovi ) u CERN-u, slike 4.



SLIKA 4

Pošto je metsa u pokretu, situacija je komplikovnija. Uočimo jednu česticu Q koja prolezi kroz drugi snop koji ima oblik pljosnate trske, visine  $h$  i širine  $w$ . Broj čestica izbrojenih po prolezu mora biti isti za sve posmatreće. U skladu sa jednačinom (2) to je proporcionalno gustini, putu dužine proleza. Posmatraćemo od centra mese (tačka O) čestice Q i P'. Usled konačnog ugla ukrštenja, center mase (tačka O) će se pomeriti do tačke O' na kraju proleza, sa brzinom

$$v_0 = v \sin \frac{\alpha}{2}$$

gde je  $v$  brzina čestice. Usled Lorentz-ove kontrekcije jedinične zapremine, gustina snope 2 izgleda manjom za faktor

$$\gamma_0 = \left[ 1 - \left( \frac{v}{c} \right)^2 \right]^{-1/2}$$

u sistemu centre mese u odnosu na laboretorijski sistem. Efektivna dužina proleske je

$$L = \frac{w}{\sin \alpha/2}$$

u sistemu centre mese, pošto sve čestice izmedju P i P' mogu biti pogodjene. Koristeći jednačinu (2), broj intersekcija je

$$= \mathcal{G} \frac{n_2}{\gamma_0} L \approx \mathcal{G} n_2 \frac{w}{\tan \frac{\alpha}{2}}$$

za  $v=c$ . Množeći sa totalnim brojem čestica ( $n_1 v_1 w h$ ) koje u sekundi prolaze snop 2, za deo sudara dobijamo

$$\frac{dN}{dt} = \zeta n_1 n_2 v_1 w^2 h (\tan \frac{\alpha}{2})^{-1}$$

Izrezivši gustinu (n) strujnog snopa (I) kao

$$n = \frac{I}{ewhv}$$

dobijamo za  $v=c$

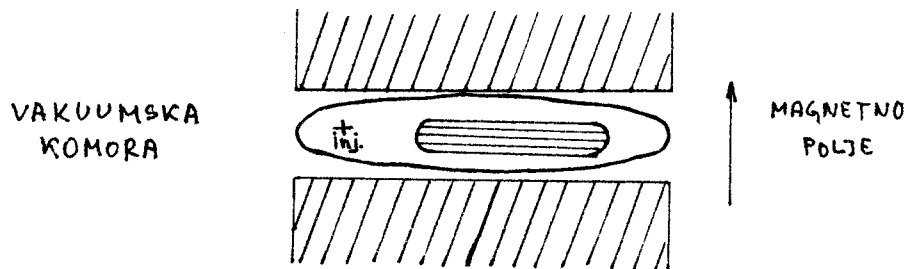
$$\frac{dN}{dt} = \frac{\zeta}{ce^2} \frac{I_1 I_2}{htg \frac{\alpha}{2}} \dots \dots \quad 3$$

Normalizacija efikesnim presekom daje veličinu zvenu luminozitet (L)

$$L = \frac{1}{\zeta} \frac{dN}{dt} = \frac{1}{ce^2} \frac{I_1 I_2}{htg \frac{\alpha}{2}} \dots \dots \quad 4$$

koja je broj interakcija za jedinicu efikesnog preseka. Jednačina (4) pokazuje da luminozitet ne zavisi od širine snopa (w), ali zavisi od njegove visine (h) i jačine struja snopova ( $I_1, I_2$ ).

Struja snope predstavlja broj elektrona i pozitrona koji se mogu skumulisati u vakuumskoj cevi. Taj broj je ograničen sa mogućim otvorom i gustinom ubačenog snopa. Na slici 5, je skiciren presek vakuumske komore u magnetnom procepu.



SLIKA 5

U cilju da se produkuje visoko uniformno magnetno polje, rastojanje izmedju polova mora biti manje nego njihove širine. To dovodi do pljosnate komore i zbog toga do nagomilavanja u horizontalnoj ravni. Prostor pogoden za akumulaciju je prikazan horizontalnim linijama na slici 5.

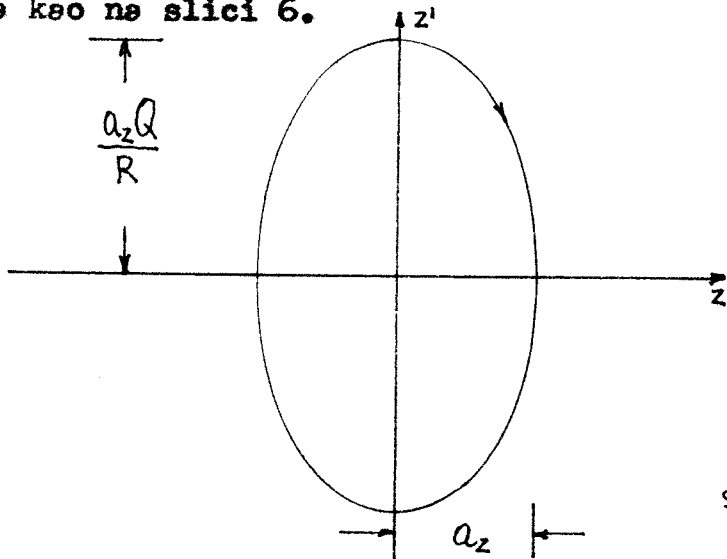
Visina snopa je odredjena fokusiranjem i emitencijom snopa. Snage fokusiranja se meri brojem transverzalnih oscilacija ( $Q$ ) oko revnotežne orbite koje čestica učini tokom jednog obrta u prstenu. To su betatronske oscilacije i približno se mogu opisati jednačinom harmonijskog oscilatora, pod predpostavkom da se po obimu prstena fokusiranje ne menja suviše. Za vertikalnu ravni

$$z = s \sin(Q \frac{s}{R} + \phi) \quad \dots \dots \quad 5a$$

tj.

$$z' = \frac{dz}{ds} = \frac{s_0}{R} \cos(Q \frac{s}{R} + \phi) \quad \dots \dots \quad 5b$$

Nezavisno promenljive  $s$  je koordinate uzduž orbite, čije je totalne dužine  $2R\pi$ . Izgled putanja u  $z, z'$  ravni je elipse kao na slici 6.



SLIKA 6

Predpostavimo da sve čestice imaju amplitudu jednaku ili manju od  $a_z$ , čime obuhvatamo sve trajektorije. Može se pokazati da površina snopa u  $z, z'$  prostoru ostaje konstantna bez obzira na fokusiranje i predviđeni longitudinalni moment snopa ostaje nepromenjen. Površina je karakteristika snopa i naziva se emitancijom ( $E$ )

$$E = z_{\max} z'_{\max} \gamma = \frac{e_z^2 Q}{R} \gamma \dots\dots 6$$

Pošto prenosom od jednog akceleratora na drugi ne menja svoju vrednost, emitanca je definisana se proton sinhrotronom (PS), ubacivačem ISR. Stoga je radijus snopsa determinisan sa njegovom emitancijom i Q vrednošću. Iz jednačine (6) za  $e_z$  dobijamo

$$e_z = \sqrt{\frac{E}{\gamma} \frac{R}{Q}} \dots\dots 7$$

Na primer, za visinu snopsa ( $h$ ) u ISR skladišnim prstenovima dobijamo:

$$E \approx 0,5 \times 10^{-6} \text{ J rед m}$$

$$Q_{ISR} = 8,7$$

$$R = 150 \text{ m}$$

$$h = 2e_z \approx 6 \text{ mm}$$

## I PRIKAZ OSTALIH PROJEKATA

Tabela II prikazuje postojeće i planirane mašine za istraživanje čestica u oblasti visokoenergetske fizike:

TABELA II

Oblast i laboratorije	MACHINA	ČESTICE	Energija(GeV)		mogući razvitek
			u laboratoriji	u centru mese	
EVROPA	PS	p	26	7,11	
	ISR	p+p	2048,10*	31+31	
	SPS	p	450	29,09	
	SPS	p+ <bar>p</bar>	155436,16*	270+270	
CERN	LEP ?	e <sup>+</sup> +e <sup>-</sup>		65+65(I faza)	e <sup>+</sup> +e <sup>-</sup> e <sup>-</sup> +p
	PETRA	e <sup>+</sup> +e <sup>-</sup>		19+19	
	DORIS	e <sup>+</sup> +e <sup>-</sup>		5+5	
	DESY II ?	e+p e <sup>+</sup> +e <sup>-</sup>			
DESY	AGS	p	33	7,97	
	ISABELLE	p+p	341150*	400+400	? { p+p e+p }
		p	500	30,65	
FNAL	TEVATRON	p	1000	43,33	? { p+p p+p }
SLAC	SLAC	e	22		
	PEP	e <sup>+</sup> +e <sup>-</sup>		18+18	
	PEP II ?				
CORNEL	CESR	e <sup>+</sup> +e <sup>-</sup>		8+8	
SSSR		p	76	12,01	
	SERPUKHOV	UNK ?	p	3000	? { p+p p+p }
				75,032	
JAPAN		p	12		
	KEK	p+p	85287*	200+200	? { e+p e <sup>+</sup> +e <sup>-</sup> p+p }
KINA		p	50	9,77	

? — mašine u izgradnji

\* — laboratorijske energije za slučaj akceleratore sa jednim snopom

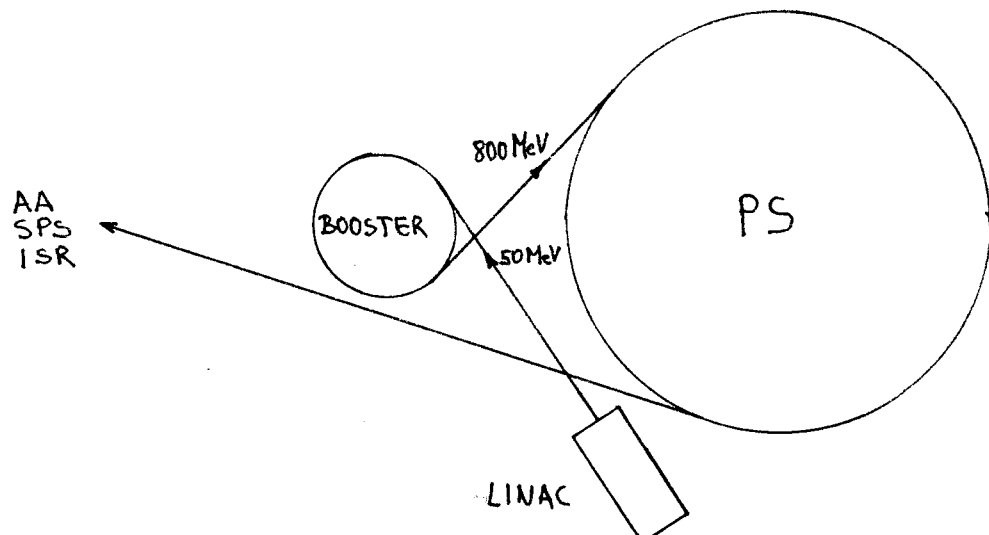
## 1. Protonske mašine

### Proton sinhrotron (PS)

28 GeV-e proton sinhrotron u CERN-u je bila prva mašina koja je kompletno koristila neizmenični gredijent polja tj. princip jakog fokusiranja.

Na istom principu radi AGS akcelerator od 33 GeV-e u Brookhaven-u.

Protoni za PS se dobijaju iz gasovitog vodonika, pa se ubrzavaju sa 750 KeV-e elektrostatičkim akceleratorom a zatim bivaju ubaćeni unutar linearnog akceleratore (LINAC) koji im daje 50 MeV-e, slike 1.



SLIKA 1

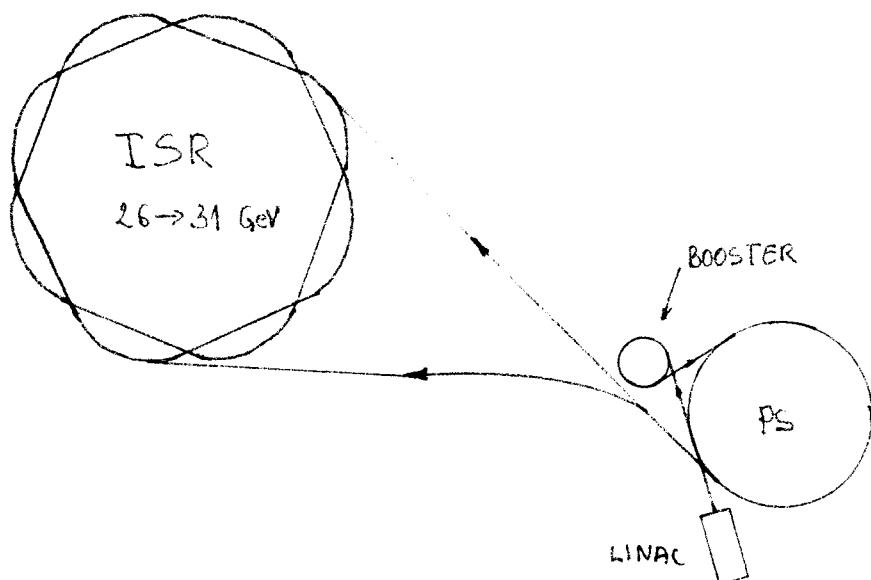
Se tom energijom protonski snop ulazi u Booster, četvorosprstni sinhrotron za sabijanje u kome se protoni ubrzavaju do 800 MeV-e a zatim ubacuju u glavni prsten PS radi daljeg ubrzevanja.

Glavni zadatok PS danas je proizvodnja i ubacivanje protona u SPS (super proton sinkrotron), punjenje ISR (ukršteni skledišni prstenovi) se protonima određene energije i obezbeđuje protone za produkciju antiprotona.

### Ukršteni skladišni prstenovi (ISR)

ISR u CERN-u se sastoji od dve ukrštene prstene okružene magnetima. Ti magneti vode i fokusiraju protone kroz vakuumske cevi koje se preseceju na osam mesta.

Protonski snopovi ubačeni iz PS se energijom od 26 GeV-a se ubrzavaju do 31 GeV-a u ISR prstenovima a zatim dovode u skoro direktnе sudare, slike 2.



SLIKA 2

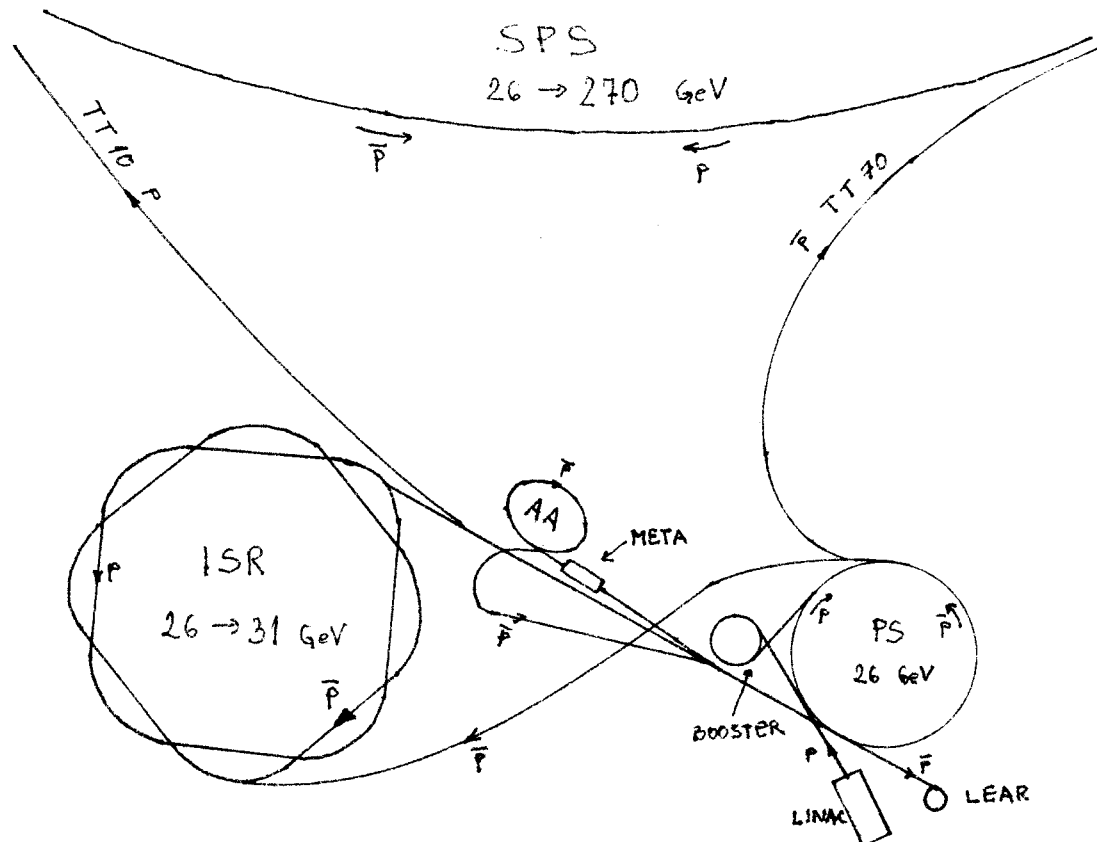
Na ovaj način se skoro sve kinetičke energije troši na kreaciju novih čestica ili za transformaciju protone. Pored protonskih interakcija se ISR prstenovima možemo posmatrati interakcije antiprotona, deuterona i  $\Delta$  - čestice.

### ISABELLE

Posle nedavnog uspeha sa novim superprovodnim magnetima, budućnost ISABELLE - 400 GeV-a proton-proton skladišnog prstena u Brookhaven-u (kao skladišni prstenovi ISR u CERN-u) odjednom izgleda mnogo svetlijе. Ovi magneti su potrebni radi što tečnijeg vodjenja dva protonska snopa.

### Super proton sinhrotron (SPS)

Zahvaljujući tehničkom napretku, postojeći 400 GeV-s SPS u CERN-u od 1981. godine radi kao kolajder tj. ubrzava protone i antiprotoni u istom prstenu. Protoni, energije 26 GeV-s se dobijaju direktno iz PS linijom TT 10, slike 3.



SLIKA 3

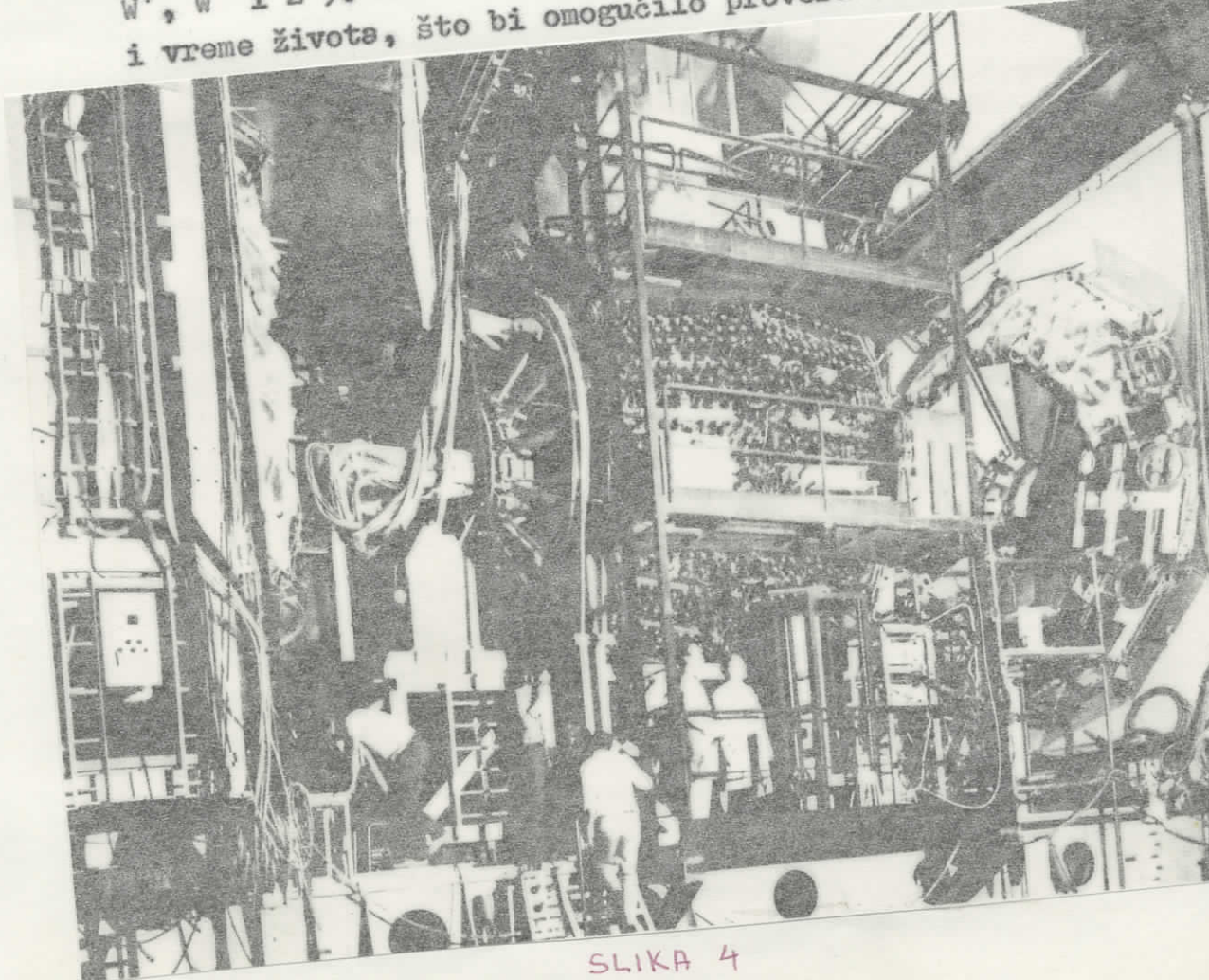
Antiprotoni, energije 3,5 GeV-s se dobijaju bombardovanjem nepomične mete sa visokoenergetskim protonima iz proton sinhrotrona i bivaju skumulirani u AA (antiprotonski skumulator). Kad je dovoljno antiprotona skumulirano u AA,  $6 \times 10^{11} \bar{p}$  po impulsu se izvlači i ponovo vraće u PS.

Zato što je prostor ograničen u AA, ubacivački i izbacivački sistem je lociran na istom mestu u prstenu.

Dospesvši u PS, antiprotoni se ubrzavaju do 26 GeV-s i prenose dalje do SPS (linijom TT 70) ili ISR za eksperimente.

Antiprotoni se mogu i usporavati u PS, redukujući svoju energiju na  $0,3$  GeV-e. Zatim se izvlače iz PS i ubacuju u mali sklođišni prsten LEAR (nisko-energetski antiprotonski prsten). Svrha LEAR-a, nije da postiže proton-antiproton sudare, već da snop antiprotona raste po intenzitetu. Intenzitet je hiljadu puta veći nego kod postojećeg snopa antiprotona u PS. Korišćenje ovog snopa će dati veliki nепрекидак u poznavanju ponašanja čestica na niskim energijama.

Snopovi protona i antiprotona koji su ubeženi u SPS se kreću u istom prstenu ali u suprotnom prevcu, ubrzavaju se do  $270$  GeV-a svaki i na kraju bivaju dovedeni u direktnu sudare. Ovoj energiji od  $540$  GeV-e u centru mase odgovara protonski i antiprotonski snop energije  $155000$  GeV-e u odnosu na laboratoriju. Specijalna detektorska oprema postavljena na dva mesta okolo prstena, registruje rezultate tih sudara. Sada se postavlja eksperimentalna tehnika, slike 4, kojom se predviđa mogućnost dobijanje i registrovanja nosilaca slabe interakcije (intermedijskih vektorskih bozona  $W^+$ ,  $W^-$  i  $Z^0$ ). Ako budu vidjeni biće teško izmeriti im masu i vreme života, što bi omogućilo proveru standardnog modela.



SLIKA 4

## TEVATRON

U Fermileb-u je u toku izgradnja protonskog akceleratora Tevatron I od 1000 GeV-s sa superprovodnim magnetima koji bi trebao biti gotov tokom 1983. godine, a planira se dalje izgradije proton-antiprotonskog kolajdera Tevatron II, u kojima bi se kao i u CERN-ovom SPS-u kretali protoni i antiprotoni. Tevatron II bi trebao biti gotov 1986. godine. Biće to superprovodna mašina i maksimalna energija koju će dostići u centru mase je 2000 GeV-s.

## UNK

Mašina veće energije, sa nepomičnom metom, koje će biti stavljen u pogon u sledećoj dekadi je UNK, 3000 GeV-s proton sinhrotron u Serpukhov-u. To je povećanje intenzitete postojeće 70 GeV-s mašine na  $5 \times 10^{13}$  protona po impulsu. Ovaj 70 GeV-s proton sinhrotron služiće kao injektor (ubećivač) za UNK. Projektovani akceleratorski kompleks (UNK) biće dvostepen. Prvi stepen, koristeći standardne magnete ubrzave protone sa energijom od 70 - 400 GeV-s. U drugom stepenu koristiće se superprovodni magneti, što će omogućiti ubrzenje protona do 3000 GeV-s. Pošto će se protoni energije 400 GeV-s kretati u istom prstenu kao i protoni energije 3000 GeV-s, moći će se redi potrebe eksperimente dovoditi u direktnе sudare. Tunel za UNK će biti dosta širok da bi dopustio dodatak još jednog skledišnog prstena i dozvolio 3000 GeV-s na 3000 GeV-s proton-protonsku fiziku.

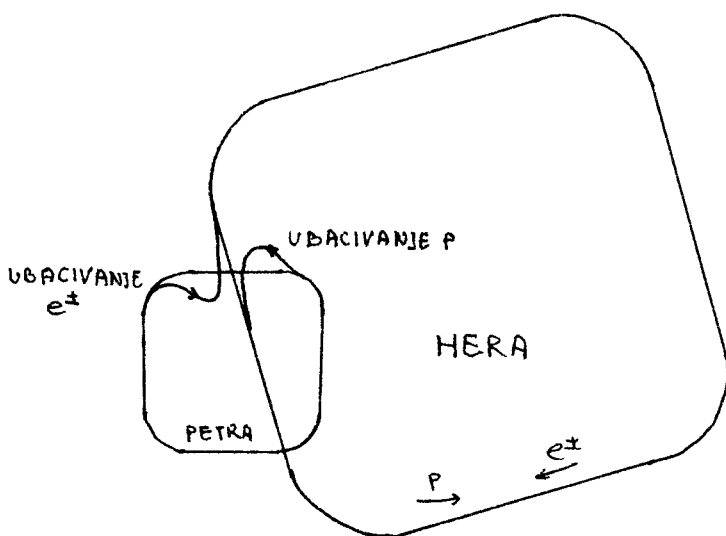
Protonske mašine će obezbediti fizičke uslove za:

- a) postojanje i proizvodnju intermedijarnih vektorskih bozona  $W^+$ ,  $W^-$  i  $Z^0$ ,
- b) proveru standardnog modelsa kao teorije za elektroslabu interakciju,
- c) proveru kvantne hromodinamike kao kandidata za teoriju jače interakcije,
- d) mogućnost velike unifikacije jače interakcije i elektroslabne interakcije,
- e) postojanje Higgs-ovih čestica i
- f) vrlo teške nove kvark-antikvark vezans stenje.

## 2. Elektron - protonске mašine

### HERA

Projekt HERA, pri DESY laboratoriji u Hemburgu predstavljaće veliki akcelerator u kome će se sudsati snopovi elektrona i protona. U sebi uključuje akcelerator PETRA, što se vidi na slici 5.



SLIKA 5

U ovom proton-elektron kružnom akceleratoru moći će se posmetrati sudsari elektrona energije 30 GeV-e sa protonima energije 920 GeV-e. Superprovodni prsten za protone je instaliran oko elektronskog prstena koji je isti kao kod mašine PETRA. Elektroni će biti ubrzavani ovim redom: DESY LINAC II (500 MeV-e) → DESY sinhrotron (7 GeV-e) → PETRA (14 GeV-e) ⇒ HERA. Protoni će biti ubrzavani ovim redom: proton LINAC (50 MeV-e) → DESY (7,6 GeV-e) → PETRA (40 GeV-e) ⇒ HERA.

Ovaj unapredjen program će nam dopustiti:

- a) studiju za slabo-elektromagnetsko ujedinjavanje sa mogućim nagoveštajima intermedijarnih vektorskih bozona,
- b) traganje za novim prirodnim stanjima (novi kverkovi i teški leptoni) i
- c) studiju mlaževa (jets) sa mogućnošću razlikovanja između mlaže kverkova i mlaže gluone.

### 3. Elektronske mašine

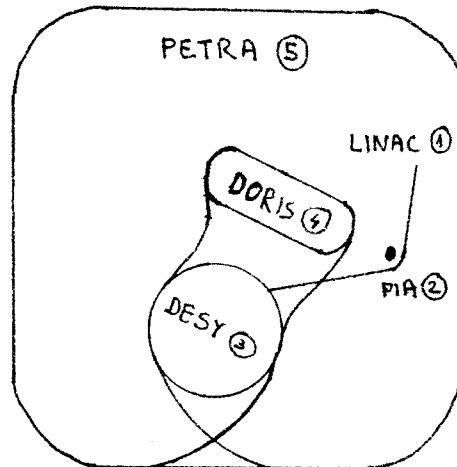
#### DORIS i PETRA

U Hamburgu pri DESY laboratoriji, elektron-pozitron skceleratori DORIS i PETRA imaju vežen plan unapredjenje postojećih mašina.

U DORIS će biti sagradjen još jedan prsten za DORIS II - elektron-pozitronski skcelerator. Sa novim radiofrekventnim uredjajima maksimalna energija će biti od  $2 \times 5,1$  GeV-e do  $2 \times 5,6$  GeV-e.

PETRA pruža se 1000 MHz radiofrekventnim sistemom, maksimalnu energiju za sudarajuće snopove od  $2 \times 18,4$  GeV-e. Tokom 1982-83. godine snage radifrekventnog sistema će biti udvostručene od 4,8 MW do 9,6 MW a energije će porasti do  $2 \times 20,5$  GeV-e. Instaliranjem superprovodnog kvadrupola i 200 m superprovodnih rezonatora, PETRA može dostići 1985. godine energiju od  $2 \times 30$  GeV-e.

Relativne veličine i geometrijs za elektron-pozitron skledišne prstenove može se lako ilustrovati planom laboratorije DESY, slike 6.

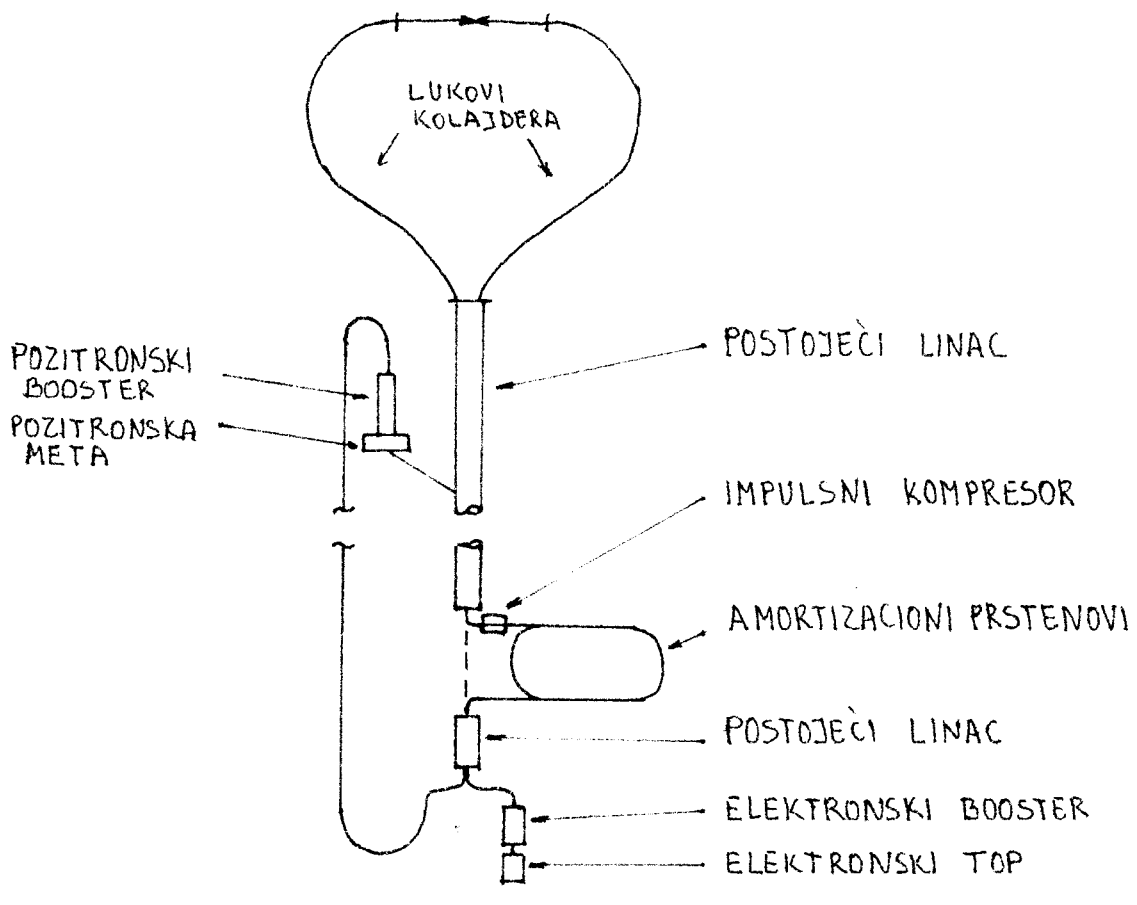


SLIKA 6

Elektroni i pozitroni se proizvode u 400 MeV-e linearnom skcelerotoru LINAC (1), čuveju i rezdvajeju u skledišnom prstenu PIA (2), prenose do skceleratore DESY (3), ubrzavaju se i tada usmeravaju dalje do DORIS (4) ili PETRA (5) radi fizičkih itraživanja.

### SLC kolajder

Ideja elektronskog linearног SLC kolajdera u Stanfordu je sušta jednoствност - dve linearne skceleratore se spaјaju u jednu тečku u kojoj se suderaju elektroni i pozitroni, slika 7. Projekt zahteva konstrukciju dva zaskrećuća prstena, novi elektronski ubacivač, pozitronsku metu i povratnu liniju, suderajuće lukove i finalni fokusirajući sistem da dovede čestične pakete do sudařa. SLC će koristiti postojeći, 3 km dug linearni skcelerator SLAC za proizvodnju i elektronskog i pozitronskog snopa za sudere sa energijama u centru mase do 100 GeV-s.



SLIKA 7

Elektronski top proizvodi potrebnih  $5 \times 10^{10}$  elektrona, u paketima dužine oko 1 mm. Sa tim elektronima ubrzavanim do oko 35 GeV-s, izbaci se dovoljno nisko-energetskih pozitrona iz mete teških elemenata a zatim se vršeju ne krej ubacivača linearног skceleratora da bi se načinio pozitronski snop zahtevanog intenziteta.

Iako će pozitronski i elektronski paketi biti dovoljno intenzivni i kratki, nijedan neće biti dovoljno koliniran za upotrebu u kolajderu. Ta dva paketa trebaju biti ubrzane do oko 1 GeV-e i skledištene u novim prstenovima smortizacije (Damping rings), odakle se mogu ponovo ubacivati u linearni akcelerator za sledeće ubrzavanje.

Pozitronski i elektronski prstenovi imaju po dve pakete. Ne "kreni", obe elektronske pakete i samo jedan pozitronski paket se vode iz prstenova i ubacuju u linearni akcelerator. Pozitronski paket i prvi elektronski paket na kraju linear-  
nog dela su podeljeni u dve luže za kružni put do tečke su-  
dara. Drugi elektronski paket kasni za dve trećine puta,  
udsare u pozitronsku metu, dajući pozitrone koji se ubrzava-  
ju do 200 MeV-e i vršeaju do ulaznog kraja linearног akce-  
leratora. Tu se ponovo ubrzavaju do 1,2 GeV-e i ubacuju u  
pozitronski smortizacioni prsten. U isto vreme, elektronski  
top je isporučio dve nove elektronske pakete koji se uba-  
ciju u sada prezen elektronski prsten, tako kompletirajući  
ciklus. Ceo proces će trajati nekoliko desetina mikrosekun-  
di i biće ponavljen 180 puta u sekundi.

Elektronske mašine predviđaju novo energetsko područ-  
je istraživanja:

- a) tačnosti standardnog modela slabe i elektromagnetske inter-  
akcije, preko odkriće nosilaca slabe interakcije,
- b) traženje novih kvarkova (pre svega t - kvark) i teških  
leptona i
- c) otkriće Higgs-ovih čestica.

## II FIZIČKA MOTIVACIJA ZA LEP

### 1. Nepredak ka ujedinjavanju interakcije

Fazna teorija (gauge teorija) pokušava da da kompletan i korekten opis cele fizike (jske interakcije, slobabe interakcije i elektromagnetne interakcije) izvan gravitacije. Postoje dvadeset faznih (gauge) bozona, od kojih osam nisu direktno primećeni (8 gluona), tri će možda, eksperimentom  $p\bar{p}$  u SPS-u, biti vidjene (intermedijni vektorski bozoni  $Z^0$ ,  $W^+$  i  $W^-$ ) s jedan se vrlo dobro vidi ( $\gamma$ ).

Salem-Weinberg-ove teorije, kojom je ujedinjena slobaba i elektromagnetna interakcija zasad sasvim dobro funkcioniše. Uspeh ove teorije je posebno značajan po što ona sadrži samo jedan sloboden parameter, Weinberg-ovo ugao ( $\theta$ ), koji meri relativnu jačinu elektromagnetne ( $e$ ) i slobabe( $g$ ) interakcije

$$\sin^2 \theta = \frac{e^2}{g^2}$$

Srednja vrednost Weinberg-ovog ugla iznosi

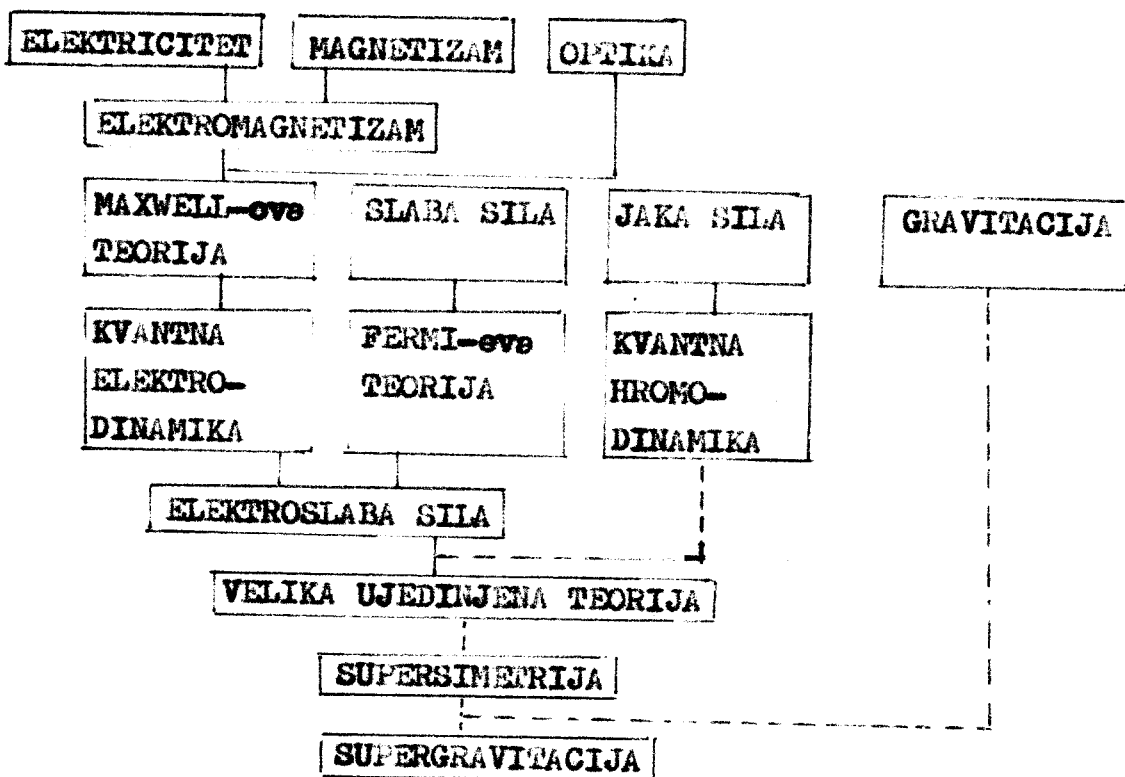
$$\sin^2 \theta = 0,23 \pm 0,02$$

Kvantna hromodinamika nam je dala osnovu za dobro uopšteno tumačenje hadronskih mlaževs (jets) tj. korektno opisuje anihilaciju leptona u hadrone. Vezivanje kverkova u hadrone (na primer: tri kverka gradi barion, tri anti-kverka gradi antibarion i par, kverk-antikverk gradi meson) tumači bojom kao nosiocem "jekog neboja" a da su sile izmedju kverkova posredovane razmenom obojenih gluona nulte msse.

Ujedinjavanje teorije elektroslobbe i jske interakcije u GUT (veliku ujedinjenu teoriju), predviđa mešanje leptona i kverkova. Ova teorija je obnovila interes pitanja o stabilnosti materije. Velika unifikacija (GUT) može obezbediti odgovore na mnoga važna pitanja, uključujući mase kverkova i leptona, vrednost  $\sin^2 \theta$ , itd. U ovim šemama proton obično gubi svoju stabilnost, raspadajući se se

poluživotom od  $10^{32}$  godine. Sadašnje eksperimentalne granice je  $10^{30}$  godine. Raspred protona je direktno uzrokován vektor-skim bozonima koji mogu biti veoma teški. Tekev bozon može postojeti tek pri energiji reda  $10^{14}$  GeV-e.

Iza svega toga leži daleko veći posao, ostavljen od Einstein-a, da se postigne unifikacija sa gravitacijom, silom koja uobičava svemir, ali je suviše sloboda da bi se njeni efekti mogli proučavati na čestičnom nivou. Nematski, ovu unifikaciju bi mogli predstaviti na sledeći način:



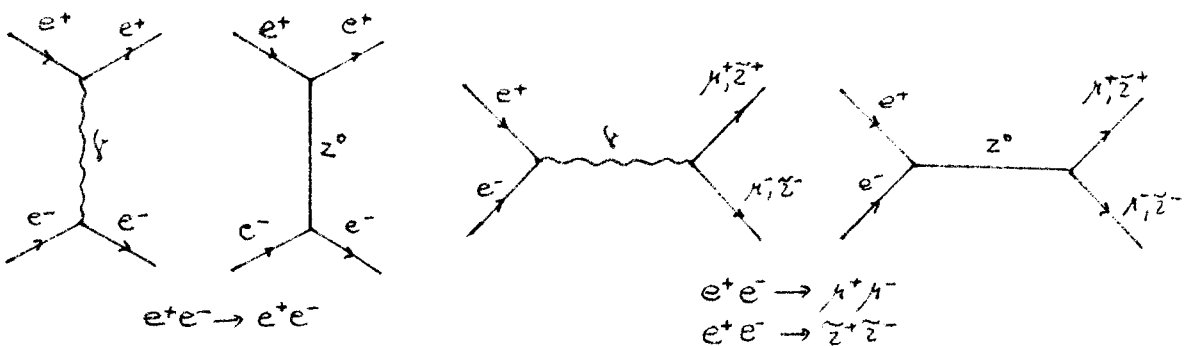
## 2. Eksperimenti se LEP-om

Eksperimenti se mašinom LEP-om će nem dopustiti:  
A studiranje slobode interakcije i  
B studiranje jake interakcije.

A Studiranje slobode interakcije će voditi preko snihilacije elektronskih i pozitronskih snopova, proizvodnje intermedijarnih vektorskih bozona ( $Z^0$ ,  $W^+$  i  $W^-$ ), proizvodnje Higge-ovih čestica i nizom drugih eksperimenata.

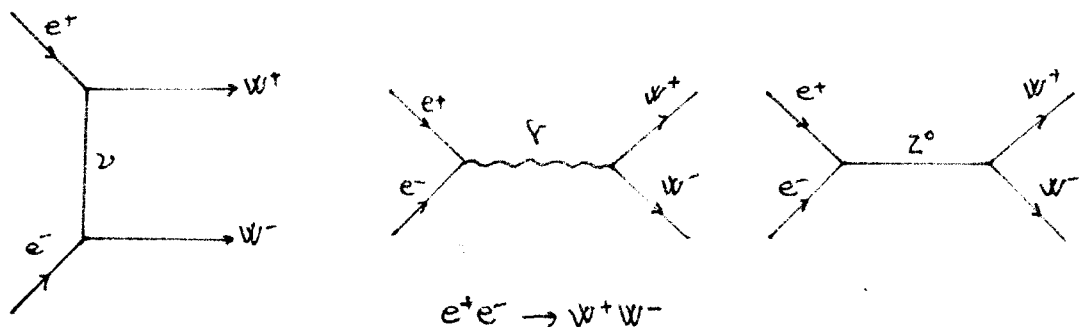
a) Anihilacija  $e^+e^- \rightarrow e^+e^-$ ,  $\gamma^+\gamma^-$ ,  $\tilde{\chi}^+\tilde{\chi}^-$

Kreacije leptonskih parova pri anihilaciji visokoenergetskih elektrona i pozitrona nastupe pomoću posredničkog virtuelnog fotona ( $\gamma$ ) ili bozona ( $Z^0$ ).



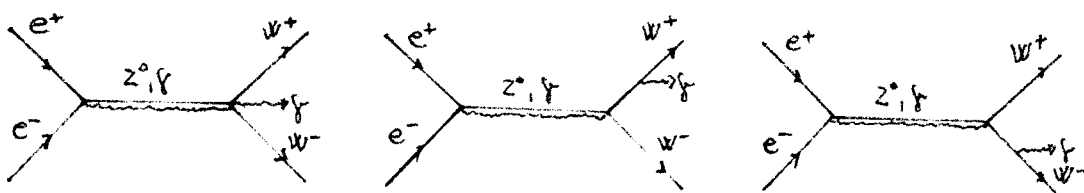
b) Reakcija  $e^+e^- \rightarrow W^+W^-$

Ova reakcija je moguća posredstvom neutrins ( $\nu$ ), fotona ( $\gamma$ ) ili bozona ( $Z^0$ ).



c) Reakcija  $e^+e^- \rightarrow W^+W^-\gamma$

Ova reakcija je moguća posredstvom fotona ( $\gamma$ ) i bozona ( $Z^0$ ).



d) Mase intermedijarnih vektorskih bozona  $Z^0$  i  $W^\pm$

Po Salam-Weinberg-ovoj teoriji za mesu  $W^\pm$  bozona se dobije

$$M_{W^\pm} = \frac{37.4 \text{ (GeV)}}{\sin\theta} = 74.8 \text{ GeV}$$

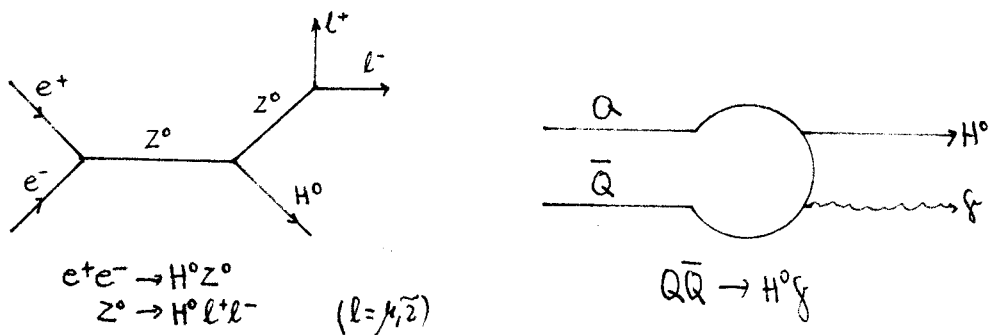
a za mase  $Z^0$  bozona

$$M_{Z^0} = \frac{37.4 \text{ (GeV)}}{\sin\theta \cos\theta} = 86.37 \text{ GeV}$$

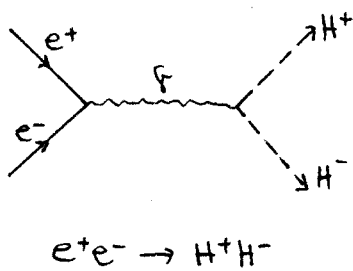
Weinberg-ov ugao u oba slučaja ima vrednost  $\sin^2\theta=0.23$ .

e) Higgs-ove čestice

Ove čestice se mogu očekivati prilikom stvaranje  $Z^0$  ili  $W^+$  bozona. Očekivani neutralni ( $H^0$ ) Higgs-ov bozon se može dobiti pri raspodu unutar parova teških leptona ( $\ell^+, \ell^-$ ) ili teških kverkova ( $Q\bar{Q}$ ).



Bozon  $Z^0$  može pratiti raspade  $e^+e^-$  i  $\tau^+\tau^-$  a postojanje  $H^0$  se može utvrditi na osnovu gubitka mase. Za dobijanje neselektrisanih ( $H^\pm$ ) Higgs-ovih mezona proces snihilecije preti jedan foton ( $\gamma$ ) izmene.



Predviđena mase Higgs-ovih čestica je  $M_H \approx 1.2 \text{ TeV}$

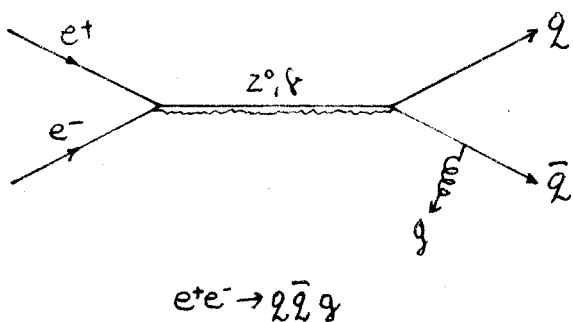
B Studiranje jake interakcije će se ogledeti kroz postojaće novih sredstava za kverkove i leptone, otkrivenje gluonsa i testove kvantne hromodinamike.

a) Novi aromati za kverkove i leptone

Dosad su poznate tri familije kverkova i leptona (stim da se potvrdi postojanje  $\frac{1}{2}$  i t kverke). U velikoj unifikaciji, kosmologija ograničava broj familija na maksimum četiri. Traganje za četvrtom familijom kverkova i leptona je jasno od fundamentalne važnosti. Ako postoji, biće ih lako naći se LEP-om. Novi leptoni se očekuju u  $e$ ,  $\nu$  dogadjajima sa novi kverkovi u postojanju unije teških kverkova.

b) Otkrivenje gluona

Preme sadašnjem teorijskom shvatanju, gluoni se ne sprežu sa elektroslabim poljima, tj. ne podležu elektromagnetskoj i slobodoj interakciji, već samo jakoj interakciji. Specijalan slučaj snihilacije elektrone i pozitrone ima za rezultat tri mlezs hadrons, od kojih, najverovatnije, jeden potiče od kverke, drugi od antikverke a treći od gluone.

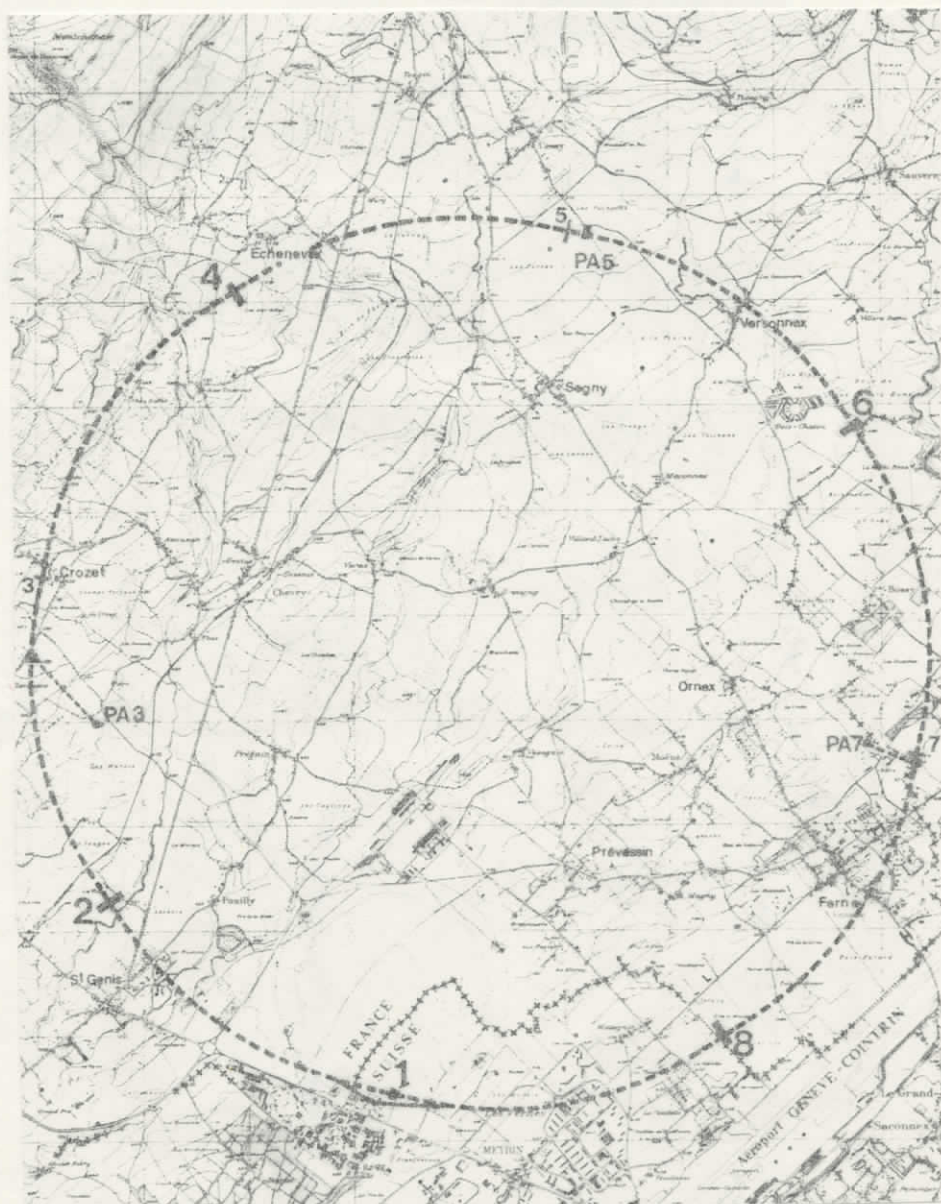


c) Kvantna hromodinamika (QCD)

U suprotnosti sa kvantnom elektrodinamikom (QED), gde čestice razmene (fotoni) ne nose neselektrisanje, u kvantnoj hromodinamici (QCD) čestice razmene (gluoni) nose boju kao neselektrisanje i mogu uvezano da interagiju jasto. To dovede do suštinske razlike medju silama; dok Coulomb-ov potencijel izmedju električnih neboja pri velikim rastojanjima opada kao  $1/r$  ( $r$ -rastojanje izmedju neselektrisanih čestica), u QCD, sila izmedju kverkova može da se poveća. Sadašnja QCD je samo mogući ali i jedini kandidat za teoriju jake interakcije.

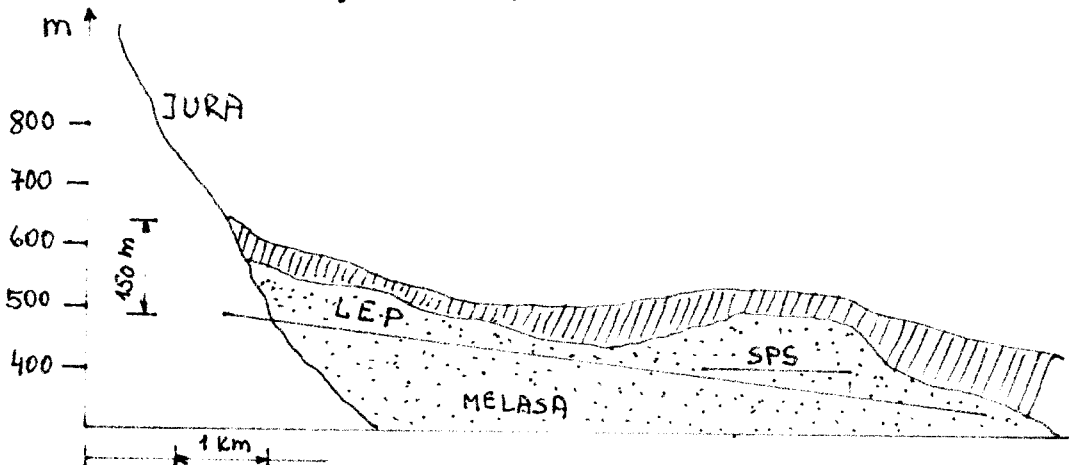
### III OPIS LEP-a

Slika 1, prikazuje plan za LEP, prsten sa obimom od 27 km na uvećanoj mapi laboratorije CERN, na području Švajcarsko-Francuske granične blizu Ženeve. LEP-ov prsten prolazi pored već postojećeg super proton sinhrotrona, tako da neće biti teško da se spoje ta dva prstena negde u budućnosti, ako to plan itraživanja bude zahtevaо. Predviđeno je osam eksperimentalnih hal (P1-P8) u dve od njih (P3 i P7) može se stići sa površine kroz vertikalne šahtove.



SLIKA 1

Prsten LEP-a se jednim svojim delom nalazi pod masivom planine Jure, prolazeći kroz melasu, koja je dobre za tuneliranje. Za ovaj deo LEP-a koji prolazi duboko ispod Jure se odavno zna da je najriskantniji deo inženjerijskog programa. Iskustva sa izgradnjom SPS-a u podzemnom sloju mlese na CERN-ovoj strani omogućava pouzdan proračun finansijskih izdakata i vremenske godnje većine tunela LEP-ovog prstena. Sadašnja lokacija gradnje akceleratora prihvata nagib prstena od  $1,8^{\circ}$ , kako bi prsten ostao u mlesei i bio manje duboko pod Jurom, slike 2.



SLIKA 2

Tunel bi po ovom planu prolezio samo 3 km u živoj steni sa maksimalnom dubinom pod površinom od 150 m. To će omogućiti lakšu intervenciju sa površine ako dodje do kakvih problema prilikom tuneliranja.

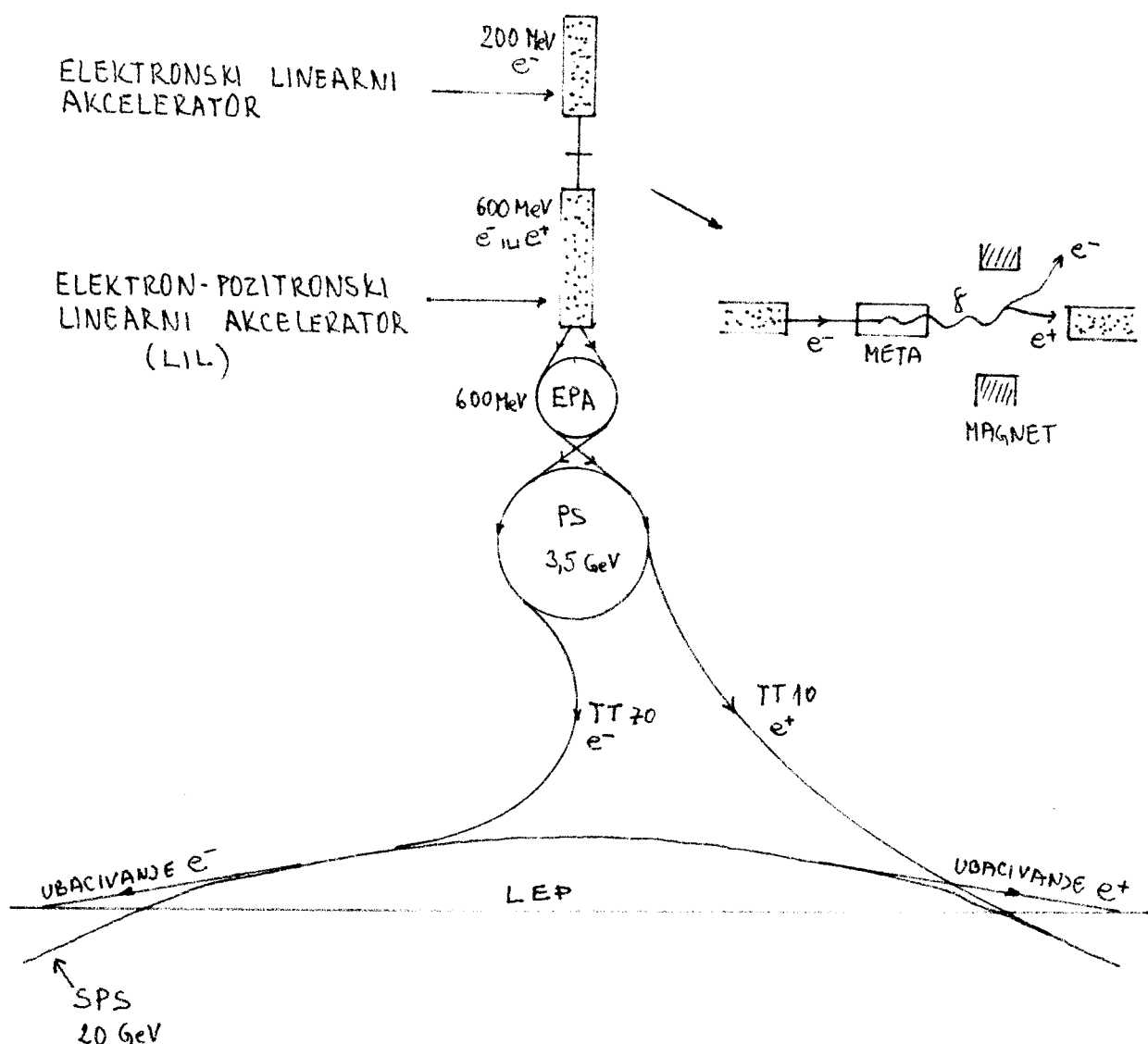
Druge prednost je da će pristup eksperimentalnim helama u osam slobodajućih regija biti lakši. Svi osam heli su međusobno povezani tunelima sa samo dve imaju vertikalne šahtove i izlaze na površinu. Ovi vertikalni šahtovi služe prevenstveno za unošenje ili iznošenje eksperimentalne tehnike.

Za dvadeset minuta punjenja, injektor (ubacivač) će obezbediti LEP sa  $3 \times 10^{12}$  elektrona i pozitrona, nedopunjajući svake dve sete da bi se održao zahtevani luminositet  $L = 10^{32} \text{ cm}^{-2} \text{ sec}^{-1}$ . Čestice će biti grupisane u četiri ekvidistantne pakete u svakom od dve kružeće snopa za LEP. CERN-ov 28 GeV-e PS će ubrzavati snop elektrona i pozitrona do energije od 3,5 GeV-e, a zatim će snopovi biti preneti (linijom TTlo i TT7o) do 450 GeV-e SPS-e radi daljeg ubrzavanja do

energije od 20 GeV-e. Sa energijom od 20 GeV-e, elektroni i pozitroni će biti ubacivani u glavni prsten LEP-e.

Da bi postojeći PS mogao ubrzavati elektrone i pozitrone, mora imati jedan pre-ubacivač. Pre-ubacivač se sastoji od postojećeg linearnog akceleratora velikog intenziteta uz dodatak linearnog akceleratora slabog intenziteta (LIL) i jednog elektron-pozitronskog skumulacionog prstena (EPA), što je prikazano na slici 3.

Elektroni i pozitroni se ubrzavaju u mrtvo vreme SPS-e, izmedju 450 GeV-a protonskog ciklusa. Za vreme ubrzavanja, elektroni i pozitroni se neće mešati sa proton-antiproton programom za SPS.

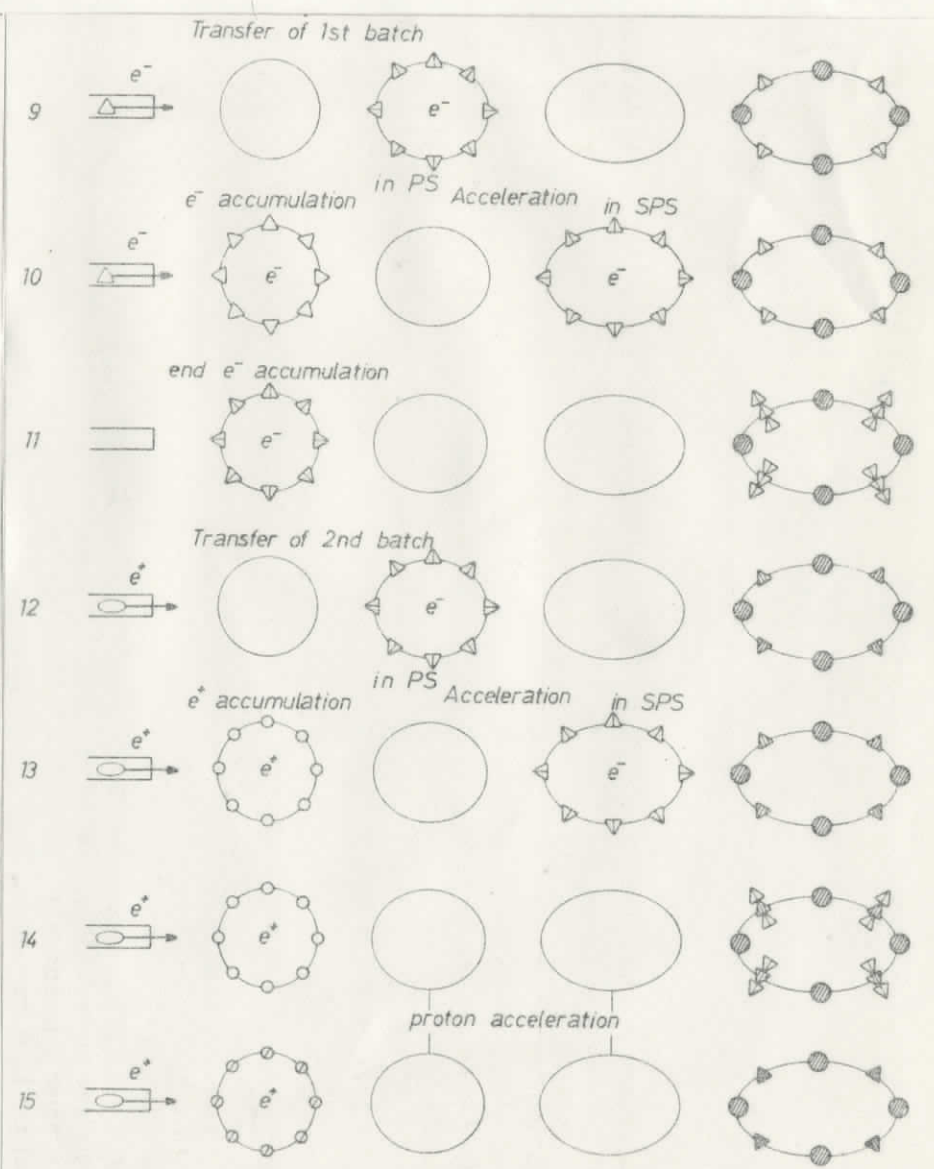
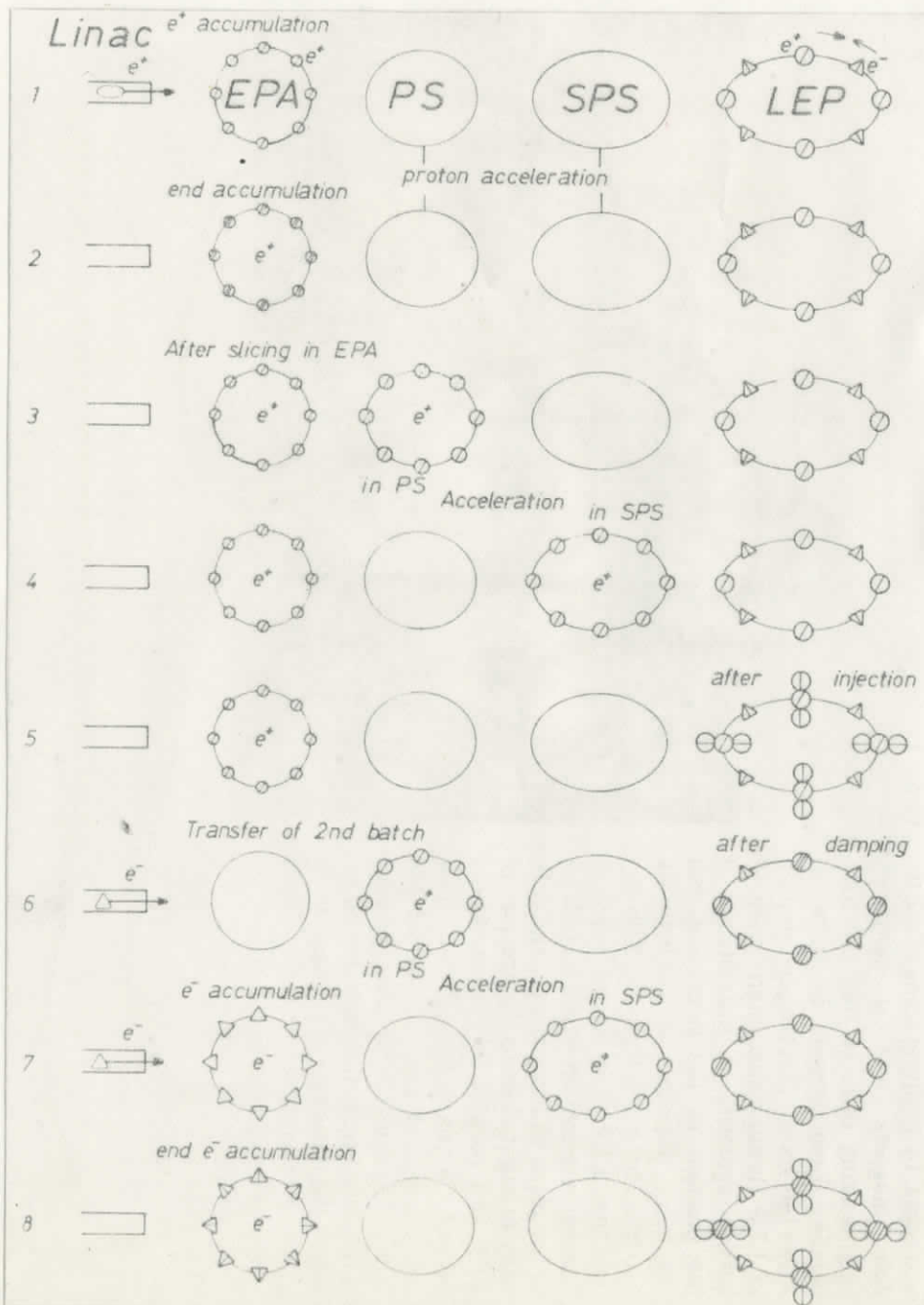


SLIKA 3

Rед убечиваčког система у fazama dat je na slici 4.

Pošmestrajmo prvo pozitronski ciklus tj. faze punjenje LEP-a pozitronima( na slici 4 pozitroni su označeni simbolom  $\odot$  ). Elektronski top, za prvi linearni akcelerator, proizvodi kretak, jako intenziven elektronski impuls, koji putuje prema linearnom akceleratoru slabog intenziteta (LIL) i udara u konvertorsku ( pretvaračku ) metu od volframe sa energijom od 200 MeV-a. Tom prilikom se dobijaju pozitroni energije oko 10 MeV-a, ubrzavaju se linearnim akceleratorom (LIL) do 600 MeV-a i bivaju ubaćeni u akumulacioni prsten EPA, ( 1. faza ). Punjenje EPA iz linearog akceleratora se vrši rezdeljeno preko osam paketa, sve dok se ne postigne zahtevani intenzitet, (2. faza). Ovaj proces u akumulacionom prstenu traje za vreme protonskog ciklusa SPS-u. Za vreme izbacivanja iz EPA, svaki od osam paketa se elektrostatickim vodjenjem seče na dve polovine. Osem polovina paketa se izvlače (3. faza) i prenose do PS, dok preostalih osam polovina paketa ostaju u EPA i oni se čuvaju za sledeći pozitronski ciklus u sinhrotronu. PS ubrzava prvi osam paketa pozitrona do 3,5 GeV-a i prenosi ih kroz protonski prenosni kanal TT 10, slike 3, unutar prstene SPS-a gde se ubrzavaju do 20 GeV-a, (4. faza). Pošto LEP radi se četiri paketa, ovih osam paketa iz SPS-a mora biti rekombinovano. To se radi u LEP-u, gde se, prvo četiri paketa ubacuju veoma kratko iz već četiri postojeće za vreme prošlog ubecivačkog ciklusa i nekon nekoliko obrta, kasnije, drugi deo od četiri paketa se prenose od SPS-a, (5. faza ). Tada će se ovih osam ubaćenih paketa sjediniti sa već postojeće četiri paketa u LEP-U, (6. faza ). Posle sledećeg pozitronskog ciklusa u sinhrotronima (6. i 7. faza), koji koristi osam polovina paketa iz EPA, čuvenih od pre, dve elektronske cikluse su umetnute.

Elektroni (na slici 4 označeni simbolom  $\Delta$  ), se obezbedjuju iz elektronskog topa lociranog blizu konvertora, bivaju ubrzeni linearnim akceleratorom (LIL) do 600 MeV-a i čuvaju se takođe u osam paketa u EPA, (7. faza). Elektroni koji stoje na raspolaženju u EPA su četiri puta većeg intenziteta nego pozitroni, (8. faza ). Svih osam paketa se dalje izvlače do PS (9. faza), ubrzavaju se i



SLIKA 4

prenose preko antiprotonskog kanala TT 70 do SPS-e, (10. faza). Tu se dalje ubrzavaju i ubacuju u LEP u istom pravcu kao i pozitroni, (11. faza). Međutim, sledeća količina elektrona je akumulirana (10. i 11. faza) i prenošena (12. i 14. faza) i novi ciklus počinje (13. faza). Faza 15. se slavi sa 1. fazom i ciklus može ponovo početi.

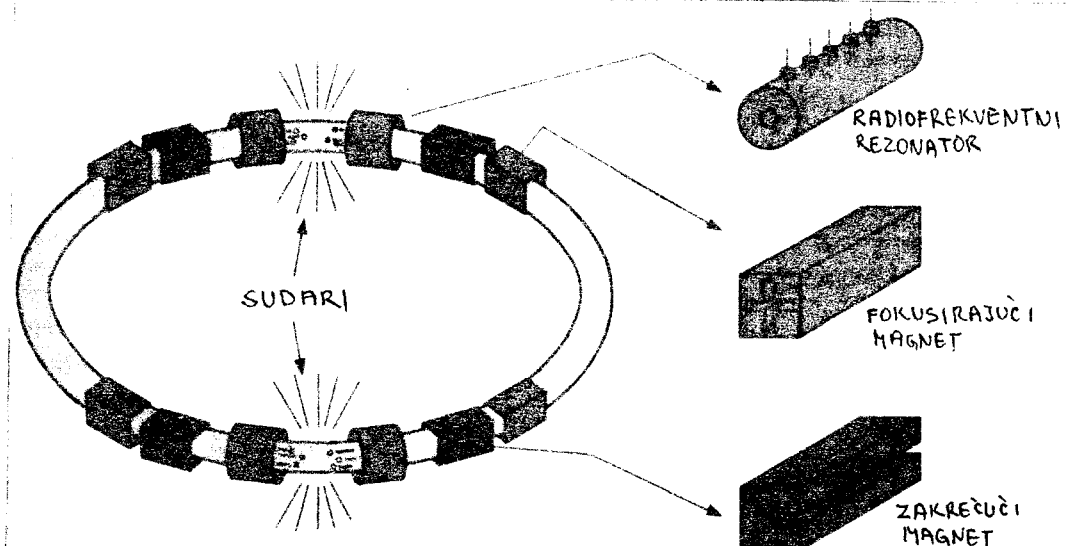
Poluživot snopa usled zakočnog zračenja u sudaru snopa sa rezidualnim gasom treba da bude dvadeset časova, sa predviđenim vakuumom od  $3 \times 10^{-9}$  tora u glavnoj prstenastoj komorbi. Zbog sinhrotronske radijacije snopa, potrebno je hledanje prstene sa snagom od 1-2 KW po metru pri energiji od 86 GeV-e, koju će LEP postići u prvoj fazi izgradnje. Gubitak energije pri sinhrotronskoj radijaciji raste sa četvrtim stepenom energije snopa ali je inverzno proporcionalan radijusu. Tako je radijus LEP-e morao biti velik. Ispak, biće potrebno da se računa sa gubitkom energije od nekih 25 MW pri radu na 86 GeV-e.

Veliki deo prstena (22 km) biće pravljen od zahrećućih magneta. Dodatno, temo će biti barem 2000 fokusirejućih i korektujućih magneta (kvadrupola, sekstupola itd.). Vežna osobina zahrećućih magneta u odnosu sa onim u standardnim akceleratorima i sklođišnim prstenovima je to, da oni trebaju da proizvedu samo vrlo slabo magnetno polje (0,123 T čak i pri energijama od 130 GeV-e). To je dovelo do nove ideje u konstrukciji magneta koje ima glavni udeo u smanjenju finansijskih izdataka. Umesto magnetnih jezgara građenih od blisko pakovanih čeličnih ploča, ploče su razmaknute i ti razmaci su punjeni sa specijalnim materijalom. To rezultuje izvanredne mehaničke osobine magneta sa zadovoljavajućim magnetnim osobinama.

Vežna komponenta mašine je i radiofrekventni akceleratorski sistem, pošto pobudjuje energetske postrojenje. Predviđeno je da se za početak instaliraju bekarni rezonatori koji rade na frekvenciji od 353 MHz. Da se postigne 86 GeV-e, biće potrebno 768 rezonatora, postavljenih sa obeju strane dugih prvih sekcija, duž cele dužine od 1629 m. Izvršeno je mnoštvo merenja za poboljšanje radiofrekventnog sistema. Važan doprinos ovom problemu doći će od razvoja superprovodnih rezonatora. Sa bekarnim provod-

nicima teško je povećati energiju LEP-a dalje od 90 GeV-a, dok će superprovodni rezonatori, na kojima se intenzivno radi, sa manjom potrošnjom energije dostizati predviđenih 130 GeV-a.

Šematski prikaz principa ubrzavanja i sudaranja elektrona i pozitrona u sklođišnom prstenu uz pomoć radiofrekventnih rezonatora, fokusirajućih magneta i zahrećujućih magneta se vidi na slici 5.



SLIKA 5

Drugi sistemi za LEP koristiće iskustva i smerature razvijene u CERN-u ne postojećim akceleratorima. Kontrolnim sistem, biće baziran na tehnici koja je tako uspešno razvijena tokom konstrukcije SPS-a. Potrebe sistema vodenog hlađenja i sistema električnog napajanja srećom mogu biti zadovoljene sa priključku i energetskih linija koje su bile korištene za SPS (sa CERN-ove strane iz Ženevskog jezera i Francuske električne centrale Génissiat).

Eksperimentalne hale i preve sekcije su plenirane da omoguće detekcijski sistem za koji nije predviđeno da bude mnogo veći nego onaj najnovije instaliran u PETRA i PEP akceleratore (uz moguć napredak detektorske tehnike). Kompleks detektora će imati zadatak da odredi električno naselektrisanje, masu, energiju i angularnu raspodelu upadnih i novonestalih čestica. Čestice su veoma male (reda  $10^{-16}$  m) i njihovo vreme života može biti vrlo kratko (reda  $10^{-24}$  sec i kraće). Iz tih razloga to nisu samo čestice koje posmatramo već preteći efekti koje oni uzrokuju.

Prikupljeni podaci se obradjuju direktno kompjuterima a dogadjaji se posle mogu vizuelno rekonstruisati u cilju da pomognu analizu dogadjaja.

Vrlo je verovatno da će istraživački potencijal izvenrednih mašina koje su sada u pogonu u CERN-u biti prevezidjen sredinom osamdesetih godina od strene Tevatron-a i ISABELLA. Zbog toga je CERN jednoglasen da se LEP stavi u pogon što pre je to moguće, kako se ne bi izgubila vrlo jaka pozicija koju je Evrope izborila širom sveta među laboratorijskim visokoenergetske fizike.

Skoro sve komponente LEP-a trebaće da budu na svom mestu da bi se mogao početi rad. Ipak dve spreve su glevne. Jedna je pogon za radiofrekventnu snagu a druga su brojni detekcioni sistemi za eksperimente. Iz tih razloga će istraživački program biti podeljen u dve etape u zavisnosti od tekuće instalacije radiofrekventnih rezonatora, koje bi omogućile sve veće i veće energije i od tekuće grednje eksperimentalne tehnike oko sadržajućih regions.

Na prvom stepenu, koji treba da bude gotov 1988. godine, pošto budu instalirani samo bekarni rezonatori, moći će da se postigne radiofrekventne snage od 96 MW sa energetskim maksimumom na oko 90 GeV-a (dovoljno za produkciju  $Z^0$ ,  $W^-$  bozona). Znatni porest energije do 130 GeV-a zahteva instaliranje superprovodnih radiofrekventnih rezonatora. Ali sve dok razvojni programi za proizvodnju tehničkih rezonatora ne dostigne viši stepen, nemože se odrediti vremenski rok završetka LEP-a.

Početak izgradnje LEP-a je 1982. godina.

Kratka lista LEP parametara na 70 GeV

Nominalna energija po snopu	E	70	GeV
Broj zone interakcije	N <sub>x</sub>	8	
Broj paketa u snopu	K <sub>b</sub>	4	
Obim mašine	c	22,208	km
Srednji radijus mašine	c/2π	3,535	km
Cirkulirajuće struje po snopu	I	10,54	mA
Broj čestice po snopu	N	4,875x10 <sup>12</sup>	
Snop-snop bremastrehung srednje vreme	τ <sub>bb</sub>	6,57	h
Snop-rezidualni gas bremastrehung srednje vreme	τ <sub>bg</sub>	20	h
Ukupen srednji život snopa	τ <sub>?</sub>	4	h
RF-frekvencije	f <sub>RF</sub>	357	MHz
Sinhrotronski gubitek radijacija	U <sub>s</sub>	906	MeV
Snage sinhrotronske radijacija dve snope	P <sub>b</sub>	19,1	MW
Totalne RF snage generatora	P <sub>g</sub>	73,9	MW
Sinhrotrono sleganje	Q <sub>s</sub>	0,1075	

L I T E R A T U R A

1. Les Houches and CERN

Proceedings of the LEP summer study

CERN 79-01, volume 1 and 2, Geneva, 14 February 1979.

2. Mülente, Federal Republic of Germany, 8-21 June 1980.

Proceeding of the 1980 CERN school of Physics

CERN 81-04, Geneva, 9 April 1981.

3. K. Hübner

ISR performance for pedestrians

CERN 77-15, Geneva, 22 August 1977.

4. Sheldon L. Glashow

Overview

Lyman Laboratory of Physics, Harvard University,

Cambridge, HUTP-79/A040

5. U. Amaldi

European projects in High-Energy Physics

CERN-EP/81-149, Geneva, 11 November 1981.

6. CERN COURIER-Journal of High-Energy Physics, volume 20  
(March, April, June, July/August, September, October,  
November)

CERN, Geneva, 1981.

8. CERN COURIER-Journal of High-Energy Physics, volume 22  
(January/February, March, May, July/August)  
CERN, Geneva, 1982.

9. CERN in brief

High-Energy Machines

Document N<sup>o</sup> CERN/PU-ED 81-8

10. Peter Landshoff

The Large Electron Positron Collider(LEP) for Particle Physics

University of Cambridge, Contemp. Phys. 1981. vol. 22,  
England, 1981.

11. M. Jacob

Comments Nucl. Part. Phys.

CERN, vol. 9, N<sub>o</sub> 2, pp 31-38, Geneva, 1980.

12. Herving Schopper

The search for the basic laws of the cosmos

CERN/DG-14, Geneva, 17 May 1982.

13. LEP news, number 3,4 and 5.

CERN, Geneva, 1982.

14. Annual report 1981

CERN, Geneva, 1982.